

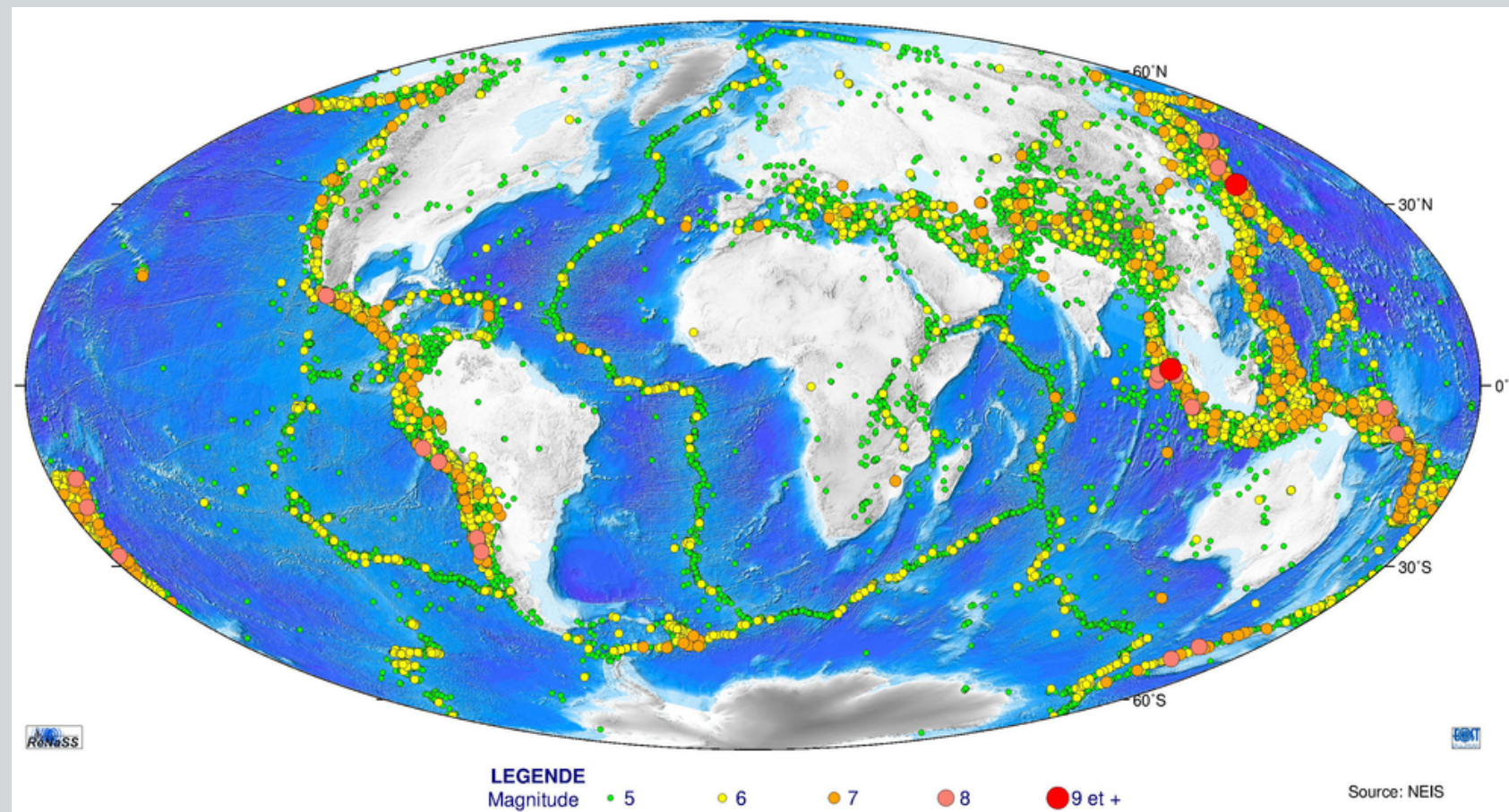
Les séismes : catastrophes imprévisibles aux conséquences incertaines ?

Jean-François Semblat
ENSTA-ParisTech
IMSIA (UMR CEA, EDF, ENSTA)
(21 février 2019)



Séismes récents

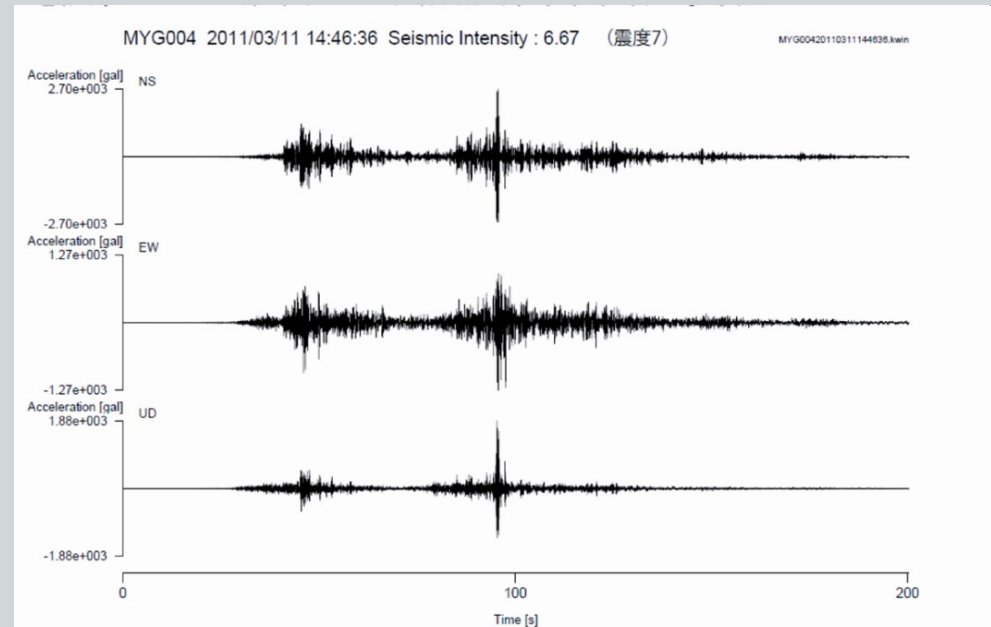
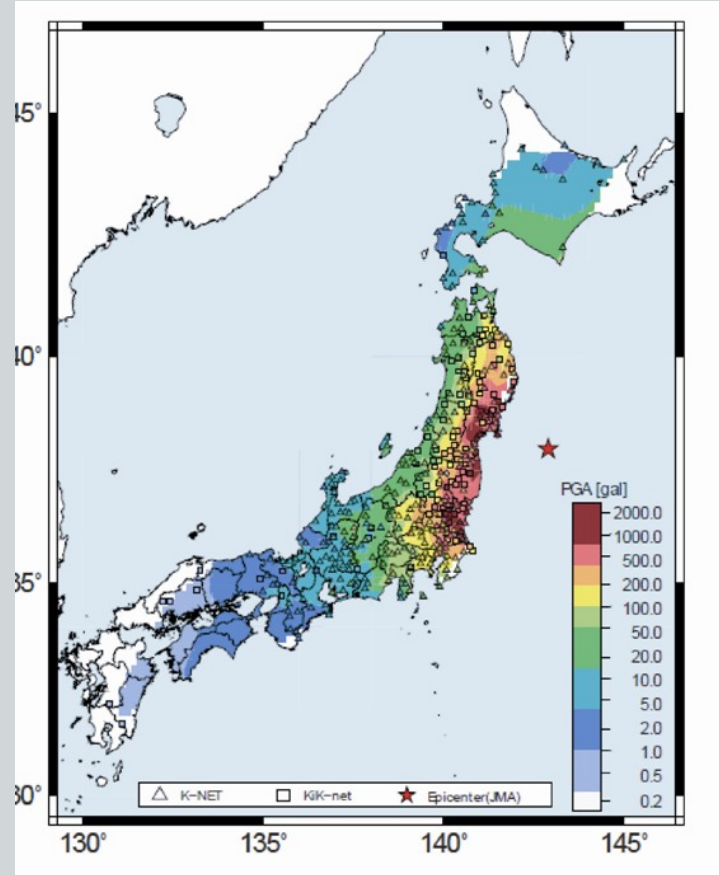
Sismicité mondiale de 1973 à 2012



Source: NEIS

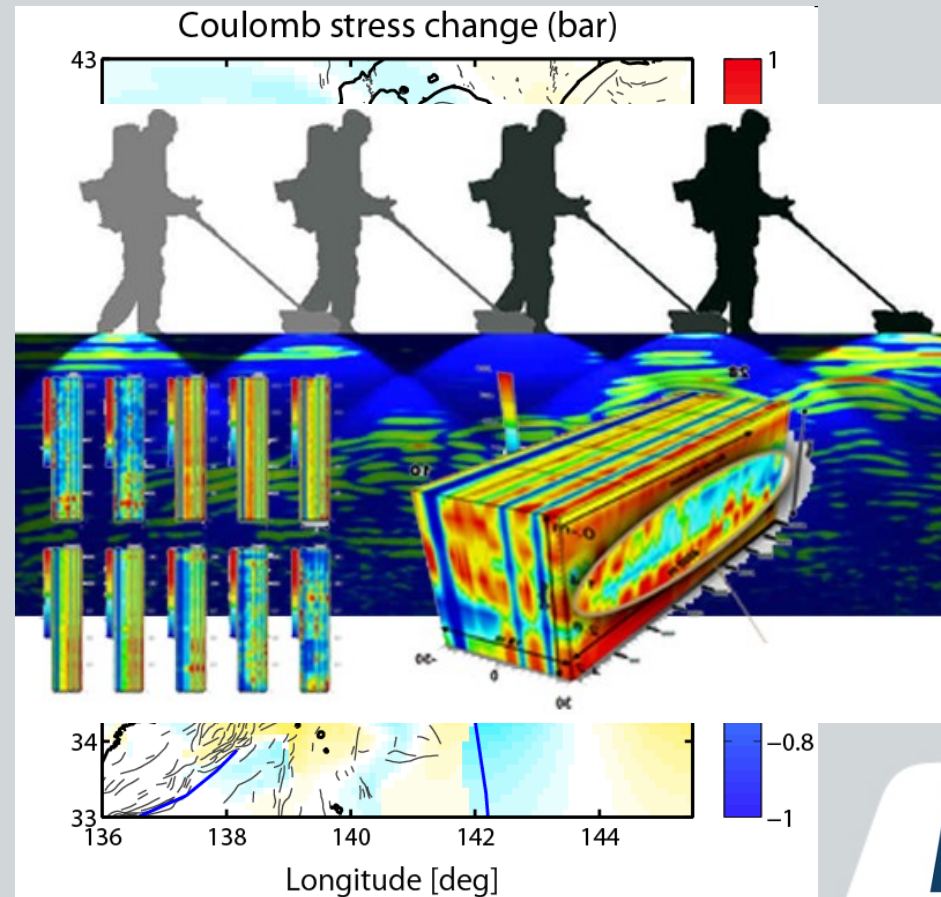
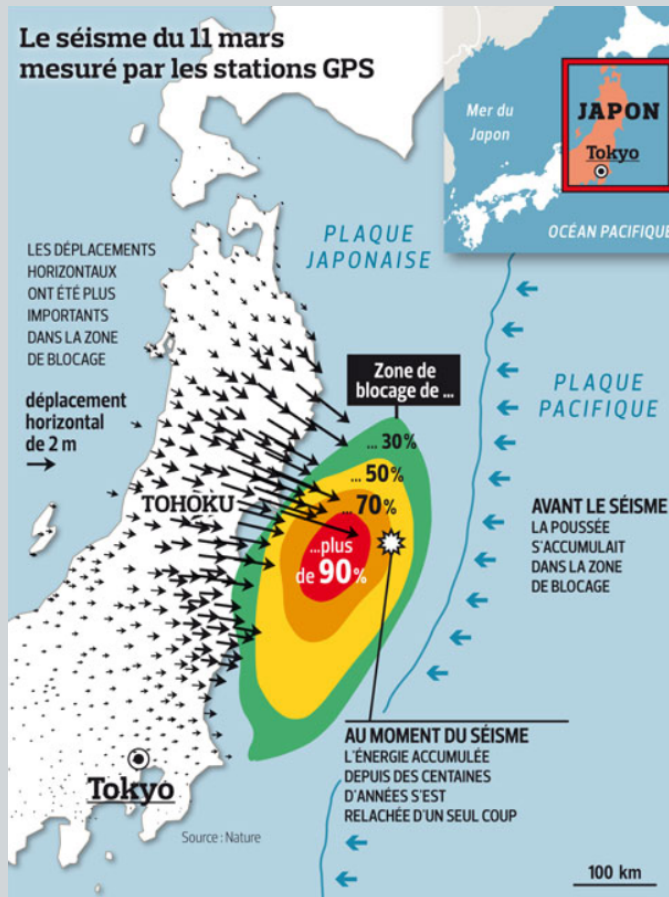
Événements extrêmes

- Séisme de Tohoku (mars 2011)



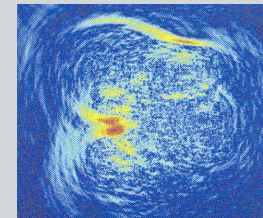
Prévision des séismes ?!

- Mouvements en surface + contraintes en profondeur ?

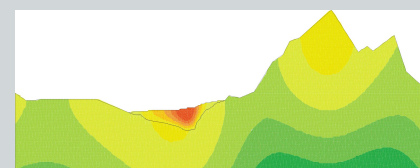


Plan

1. Failles : état de contrainte
vs rupture ?



2. Rayonnement et
propagation des ondes

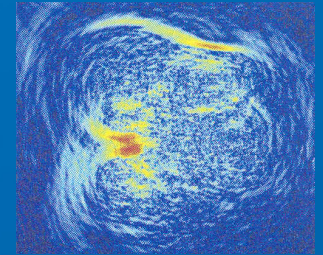


3. Sollicitation structures :
forfaitaire/probabiliste



4. Perspectives





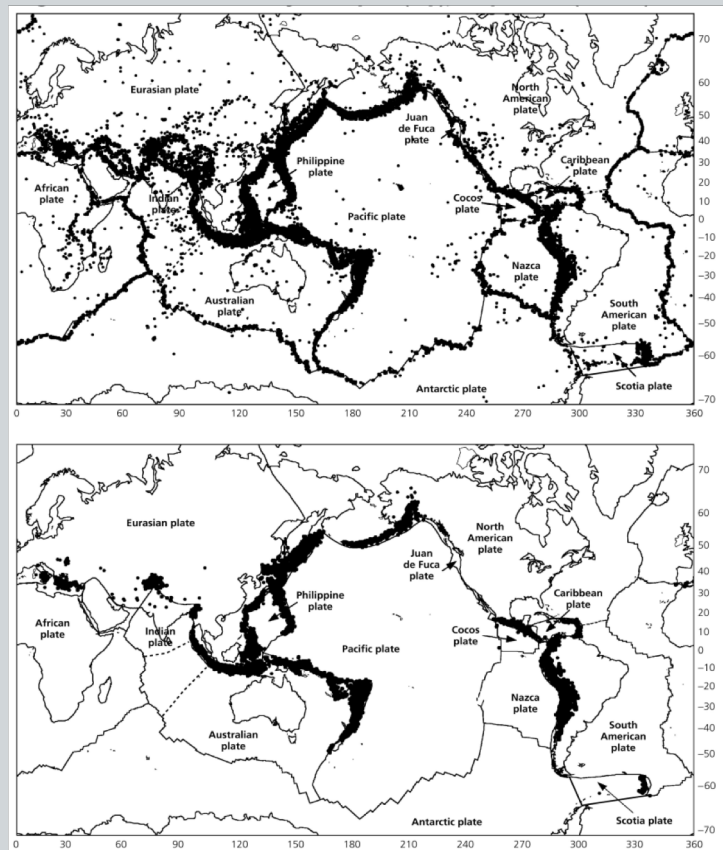
1/ Failles : état de contrainte vs rupture ?

IMSIA


ENSTA
ParisTech

Répartition spatiale

- Sismicité de 1964 à 1997 : tous les séismes (haut) et séismes initiés à plus de 100km de profondeur (bas)



(Stein & Wysession, 2003)

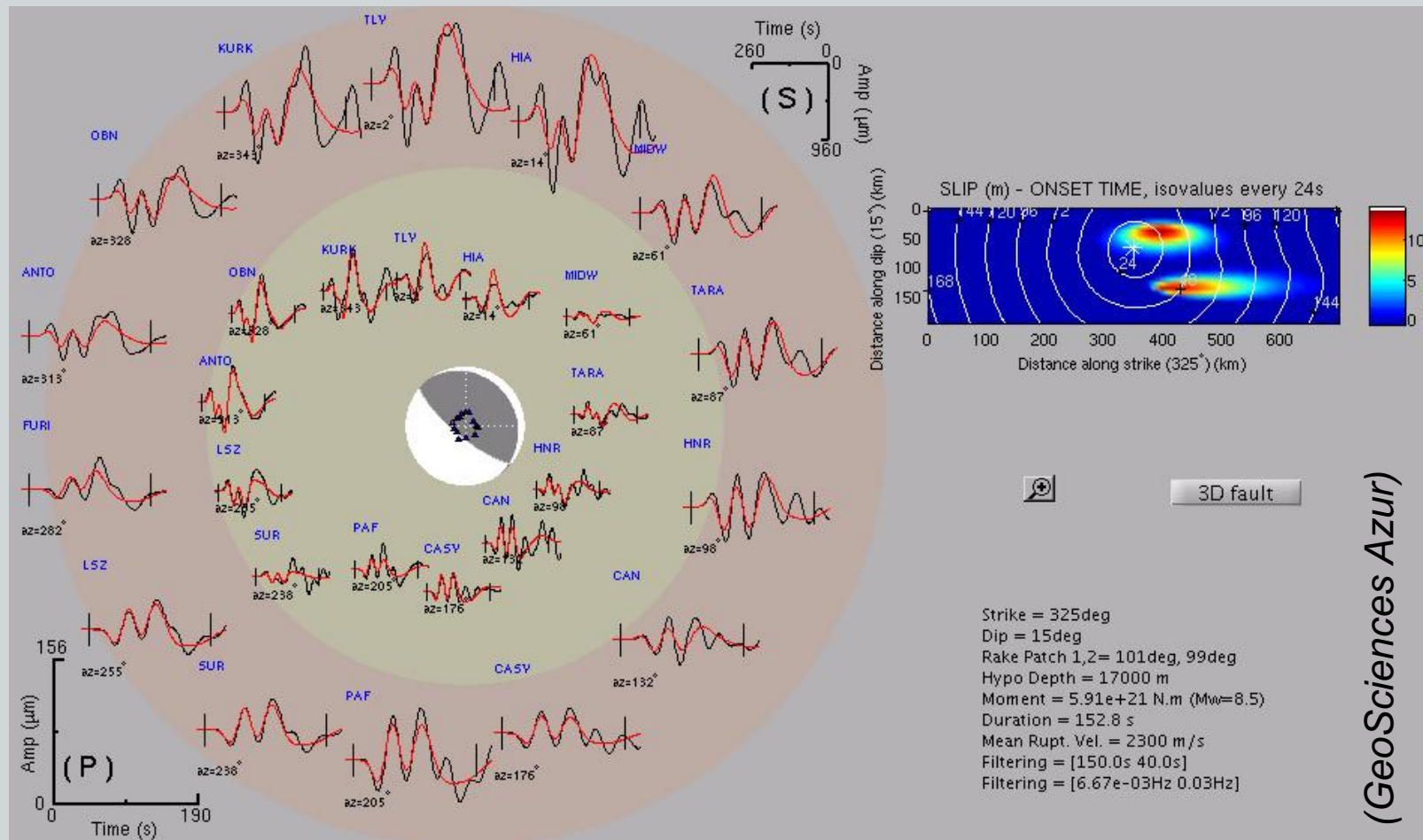
Répartition temporelle

- Séismes historiques et mouvements le long de la faille Nord Anatolienne au 20^e siècle (AIR)



Identification des sources

- Séisme de Sumatra (2004)

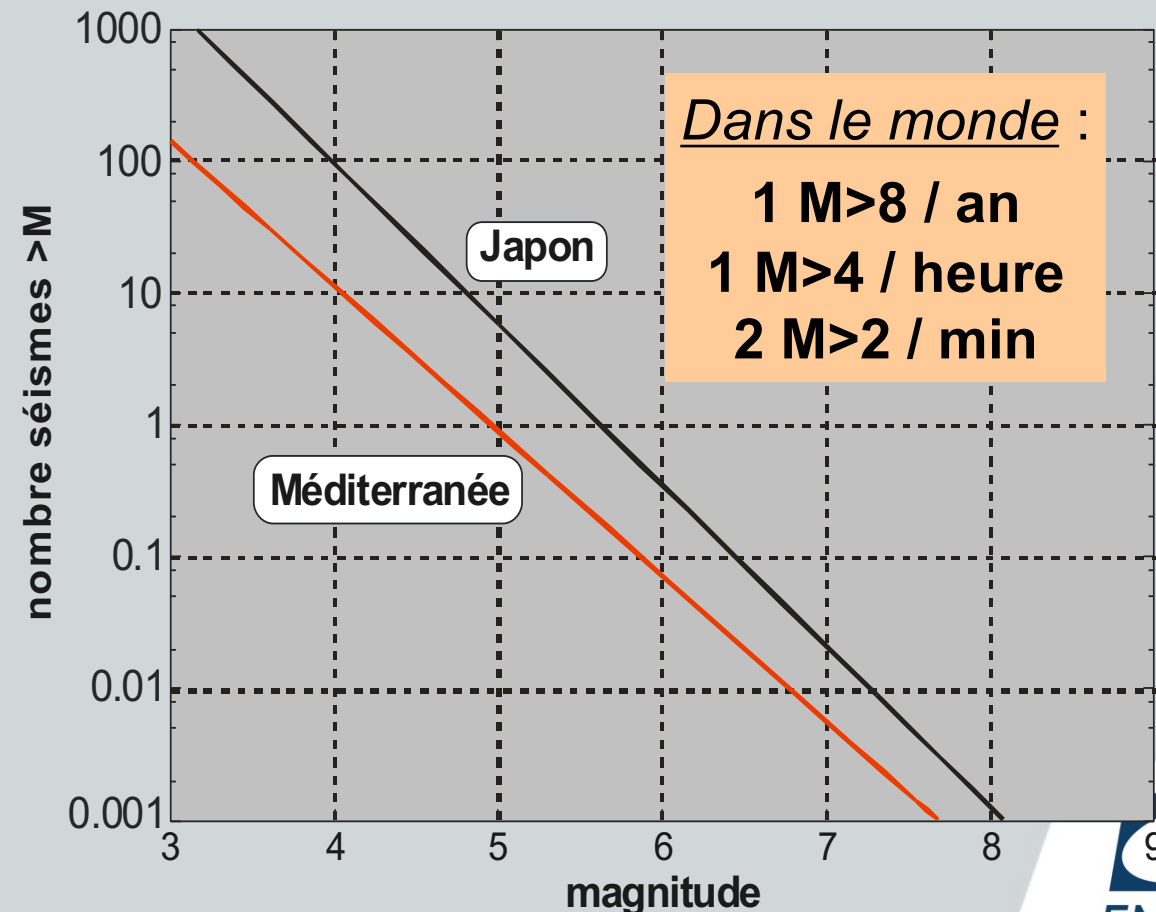


Statistiques des magnitudes

- Loi de Gutenberg-Richter : $\log_{10}(N(M)) = A - bM$

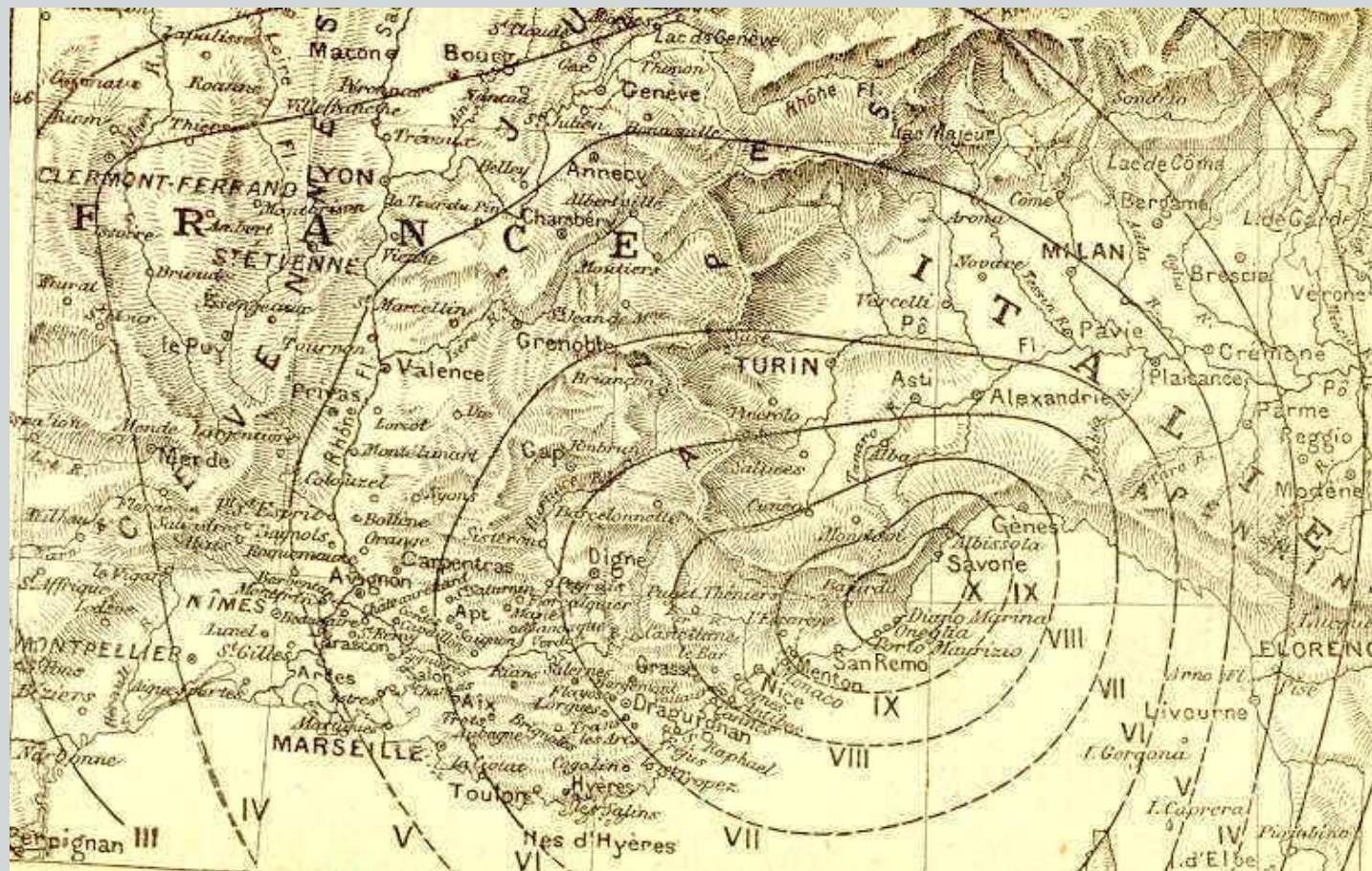
M	nbre/an
≥ 8	1
$7 \leq M < 8$	15
$6 \leq M < 7$	134
$5 \leq M < 6$	1319
$4 \leq M < 5$	13000
$3 \leq M < 4$	130000
$2 \leq M < 3$	1300000

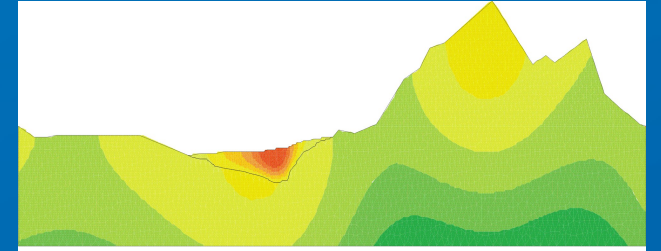
Source USGS



Séismes passés ?

- Séisme de Ligure (1887)



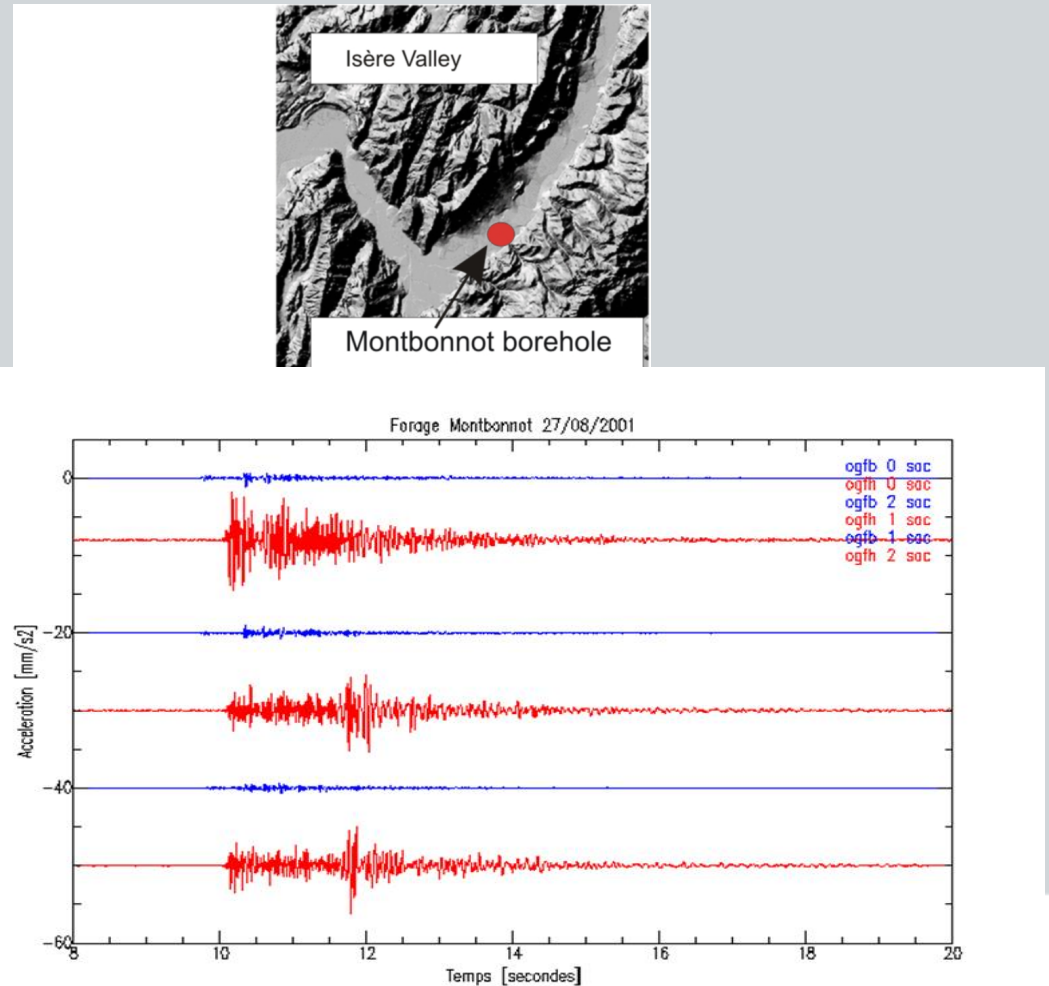
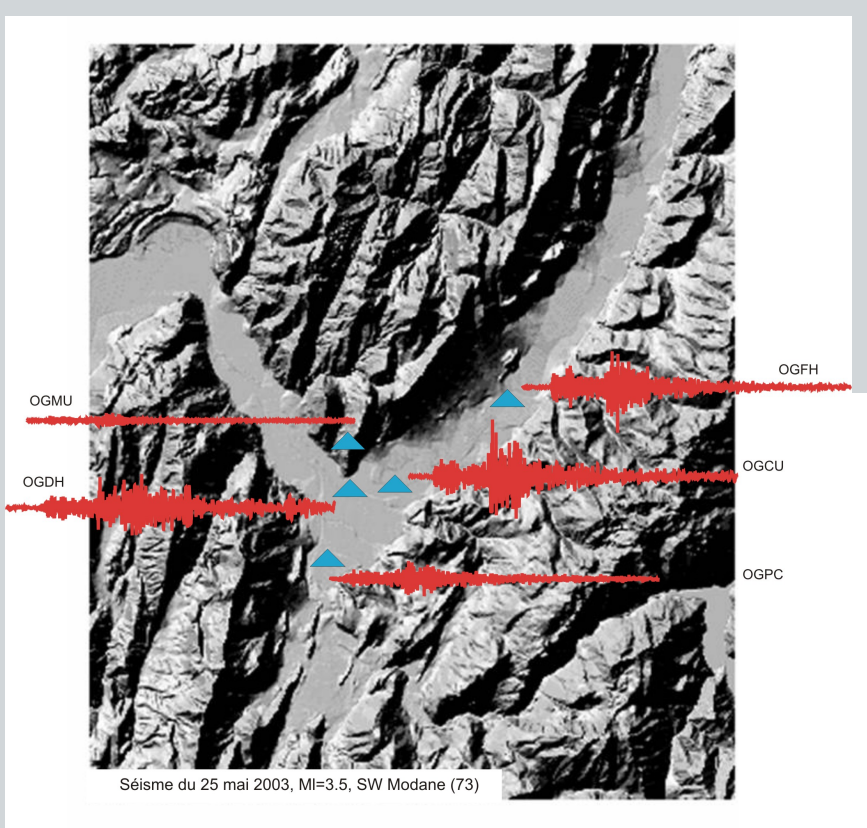


2/ Rayonnement et propagation des ondes

IMSIA

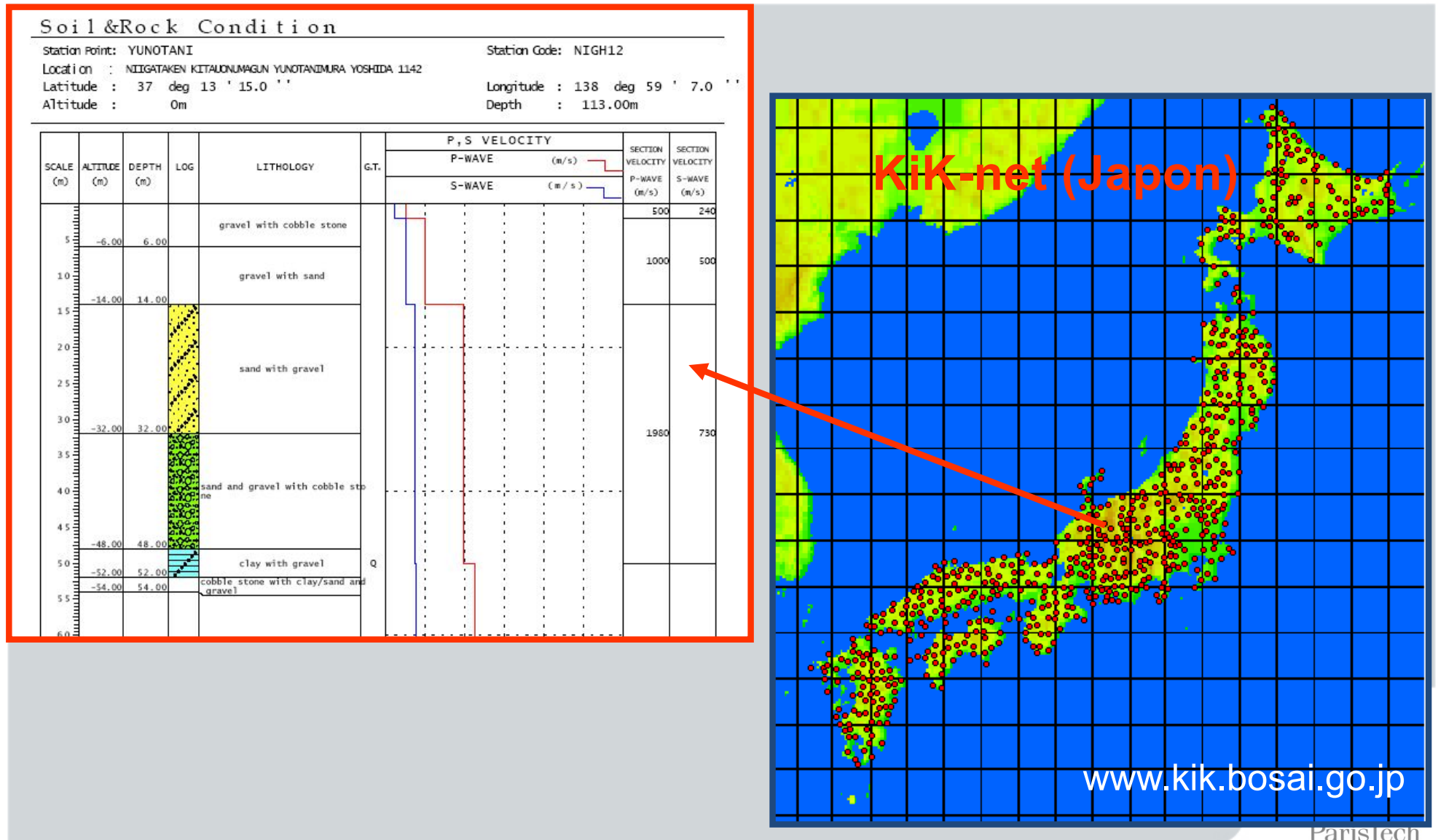
 **ENSTA**
ParisTech

Structures géologiques de surface



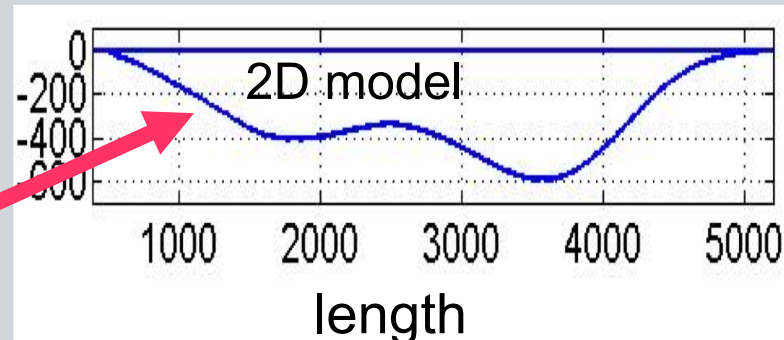
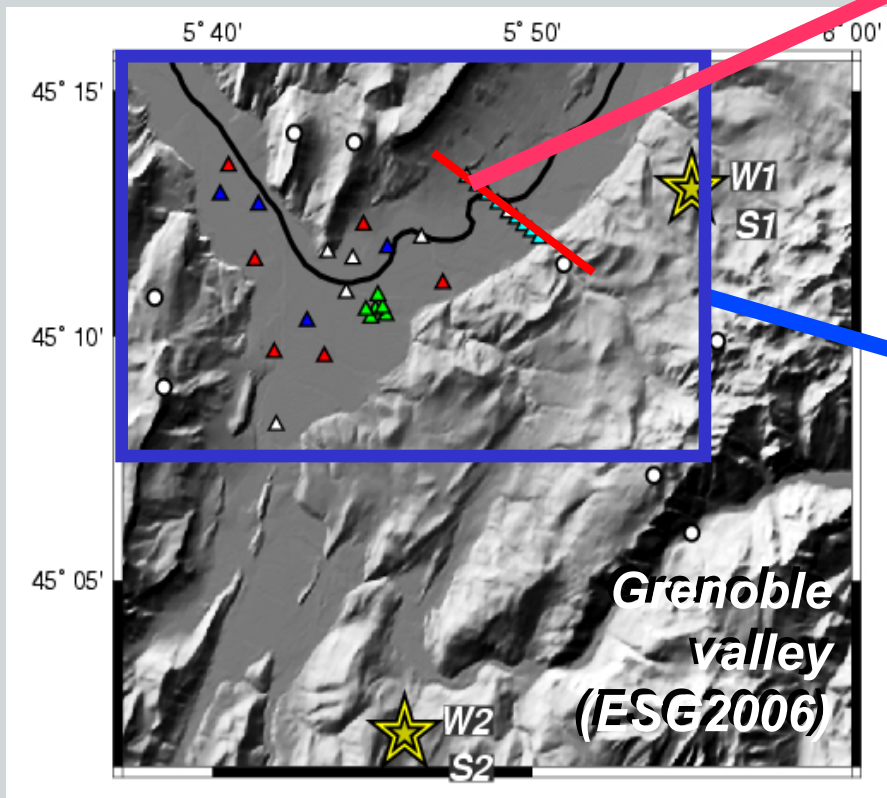
1. Mouvement surface
2. Mouvement profond

Réseaux observations (Japon)

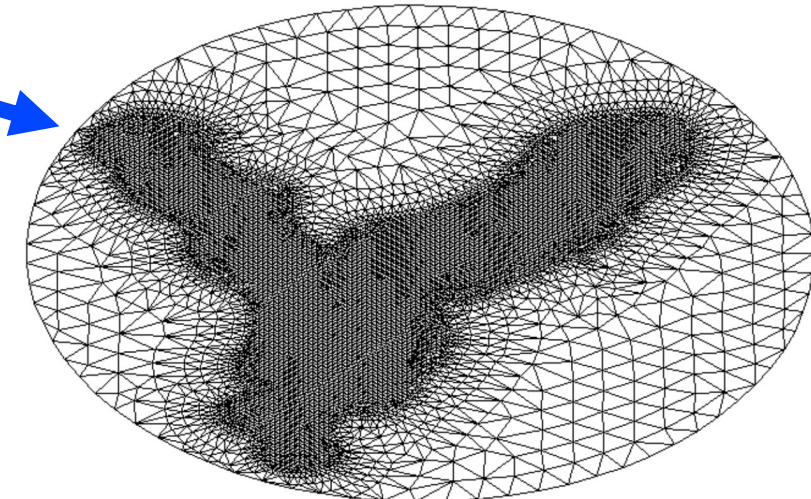


Propagation/amplification: modèles ?

- Propagation 2D
- Propagation 3D
- FEM, SEM, BEM...

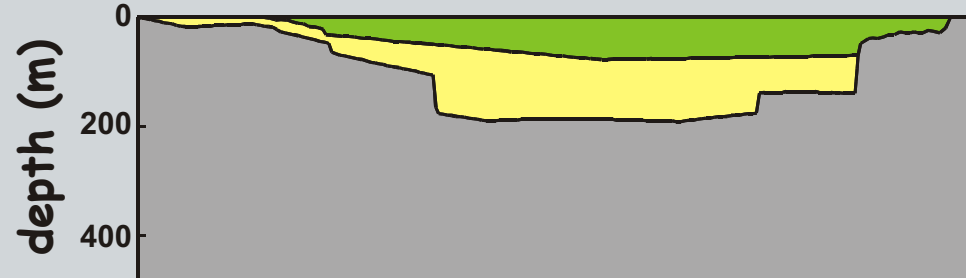


3D model

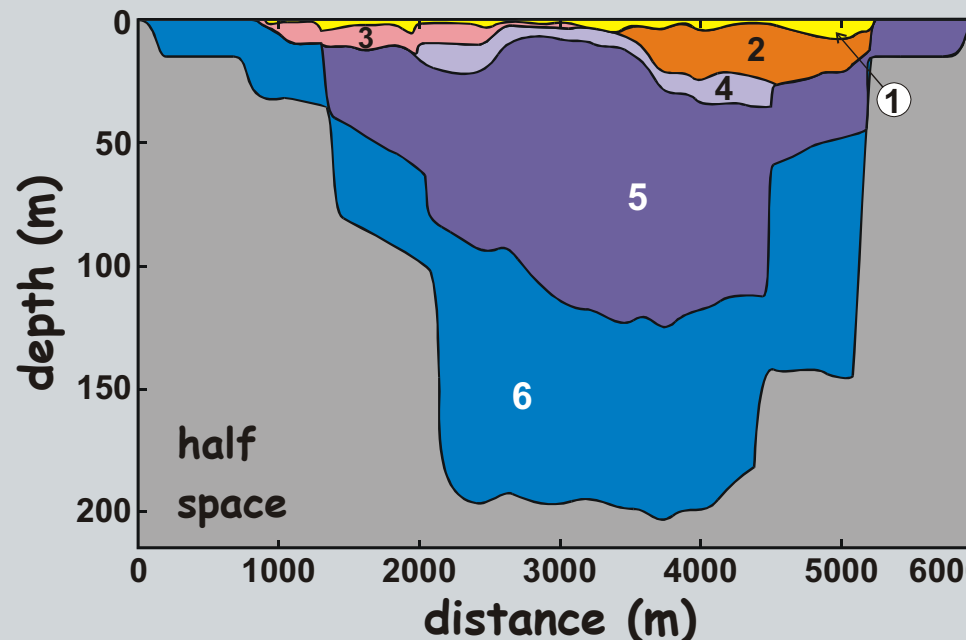


Modèle simple vs complexe ?

Simplified model with two layers : 1234 + 56



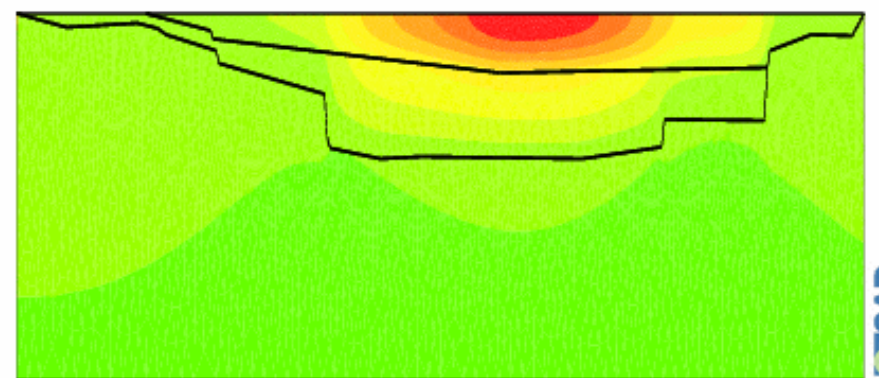
Complete model with 6 layers + bedrock



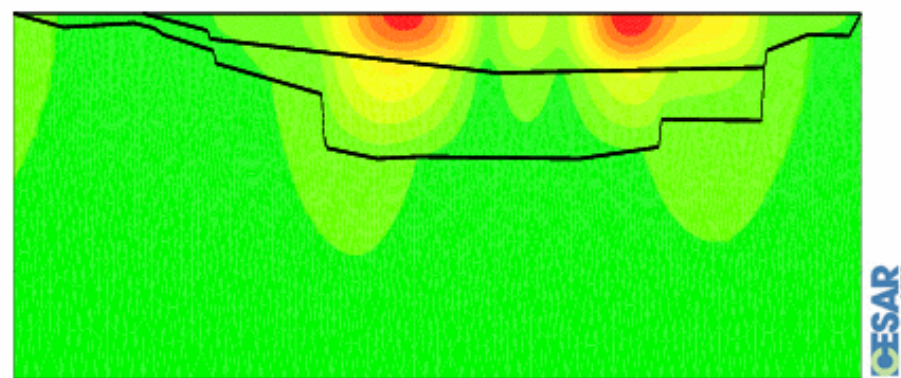
- Bassin Volvi (Grèce)
- Stratification simplifiée/détaillée
- Méthode BEM
- Influence incertitudes réponse sismique ?

Amplification : variabilité spatiale

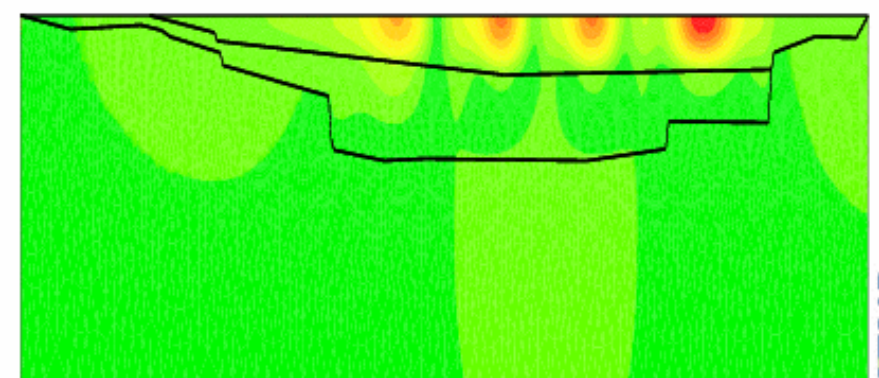
$F=0.6\text{Hz}$, $A=2.9$



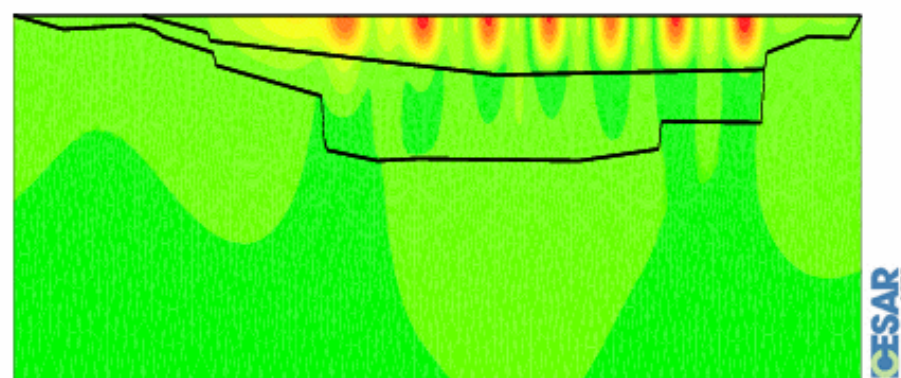
$F=0.8\text{Hz}$, $A=9.5$



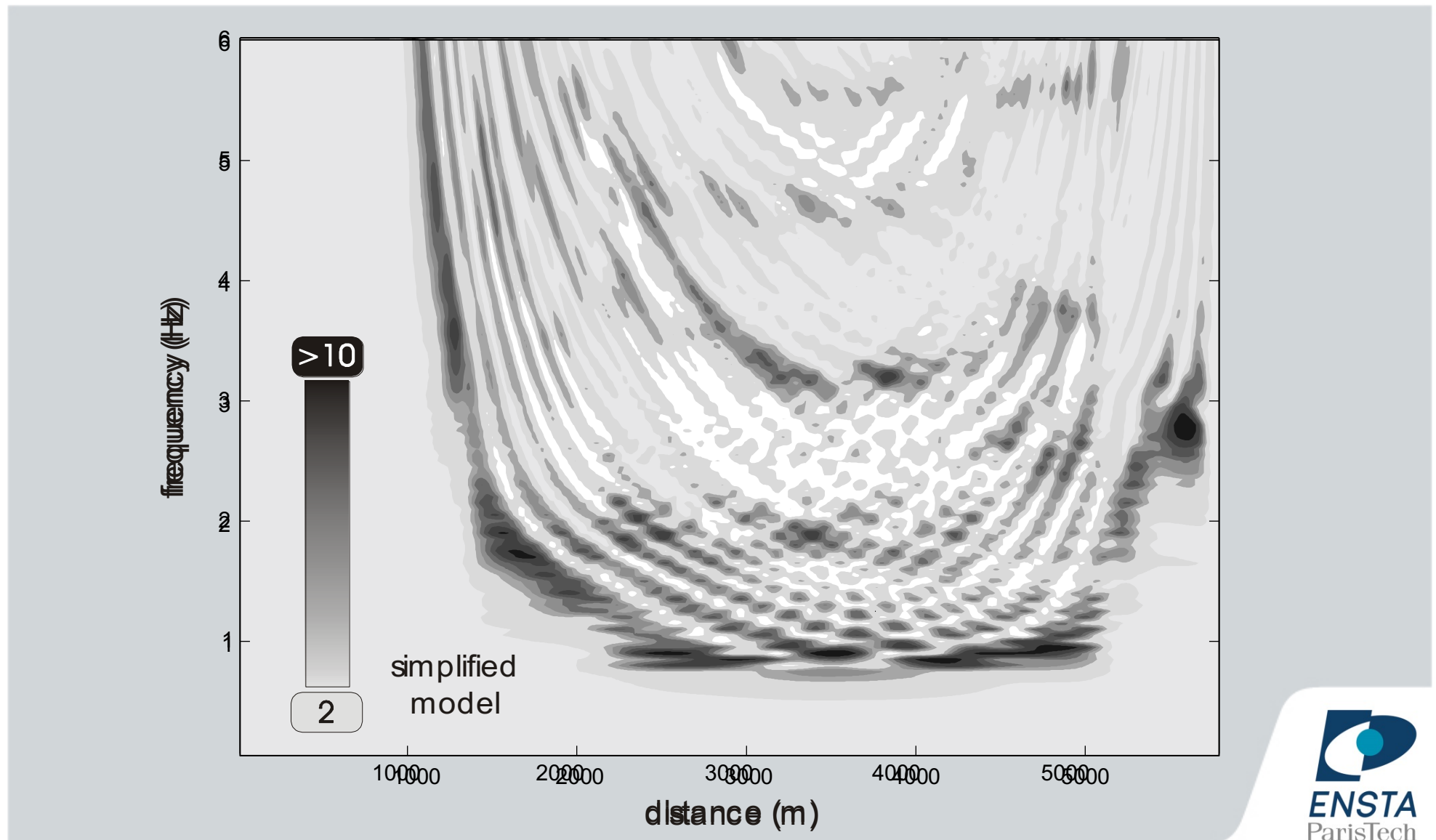
$F=1.0\text{Hz}$, $A=9.5$



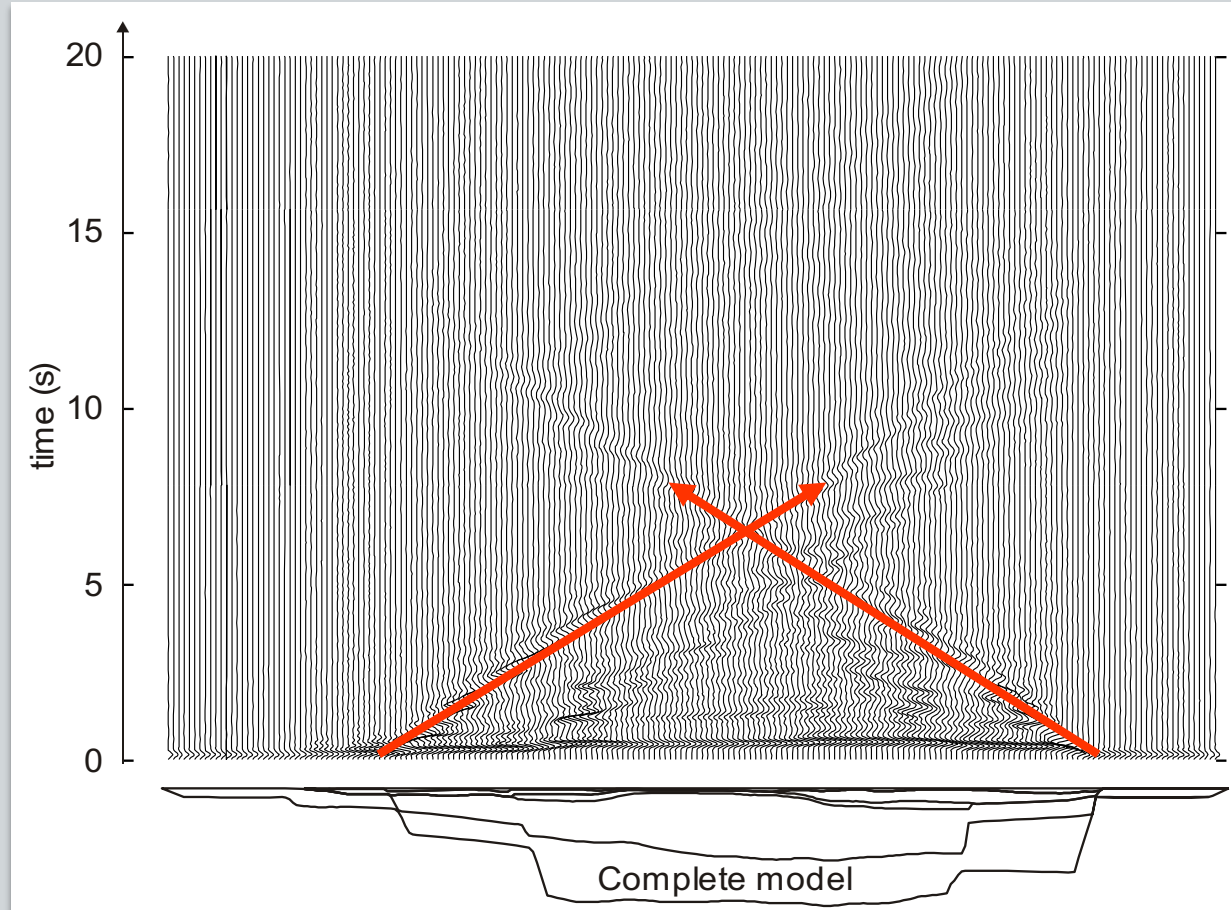
$F=1.2\text{Hz}$, $A=7.5$



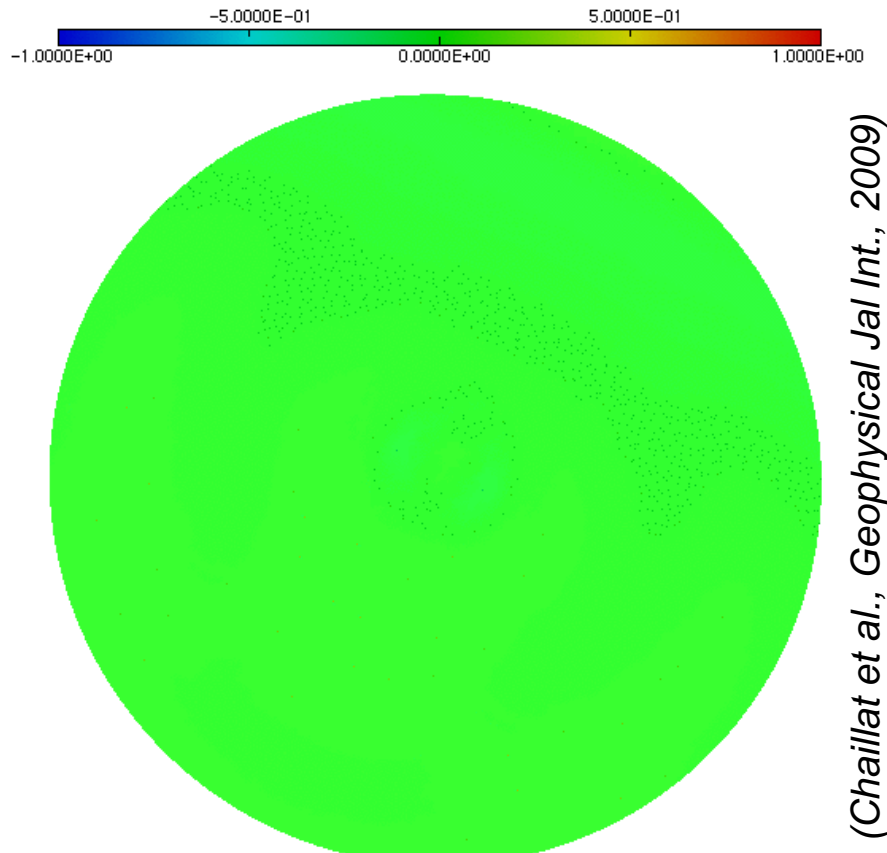
Amplification : modèle simple vs complet



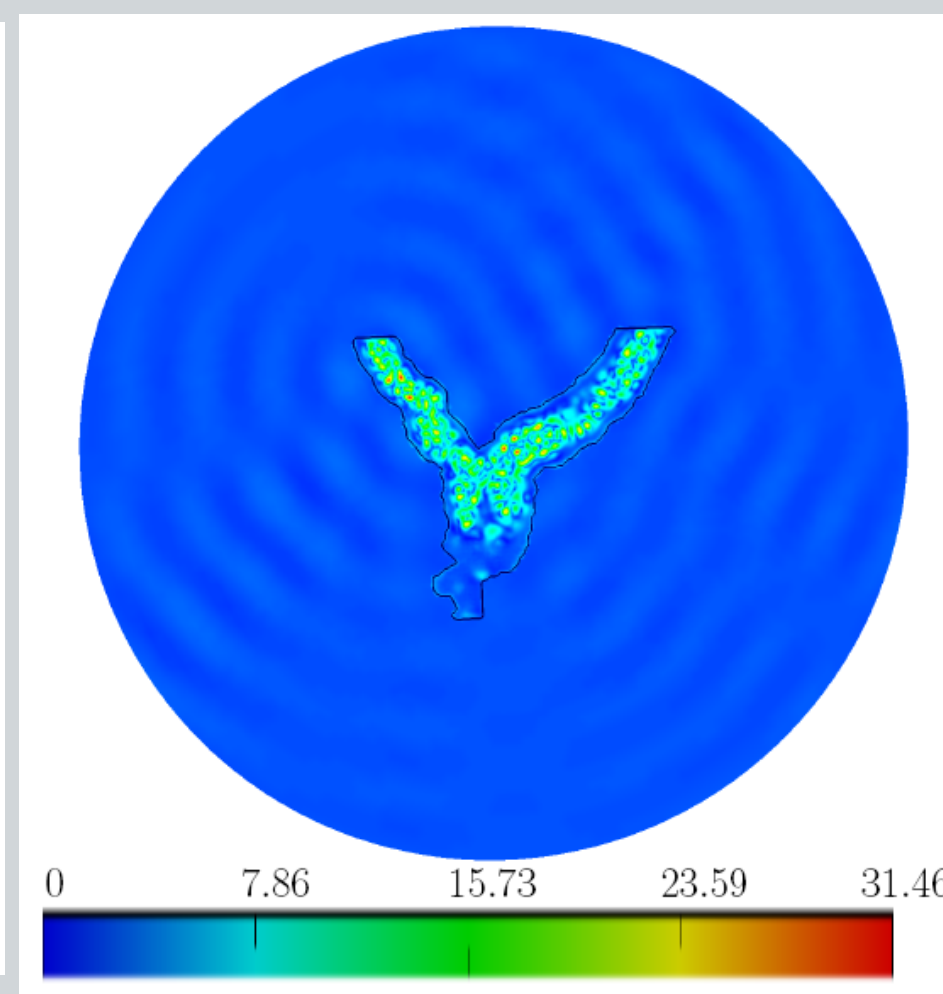
Variabilité et ondes de surface



Amplification tridimensionnelle



(Chaillat et al., *Geophysical Jnl Int.*, 2009)



(S. Chaillat, J-F Semblat, M. Bonnet, CiCP, 2012)



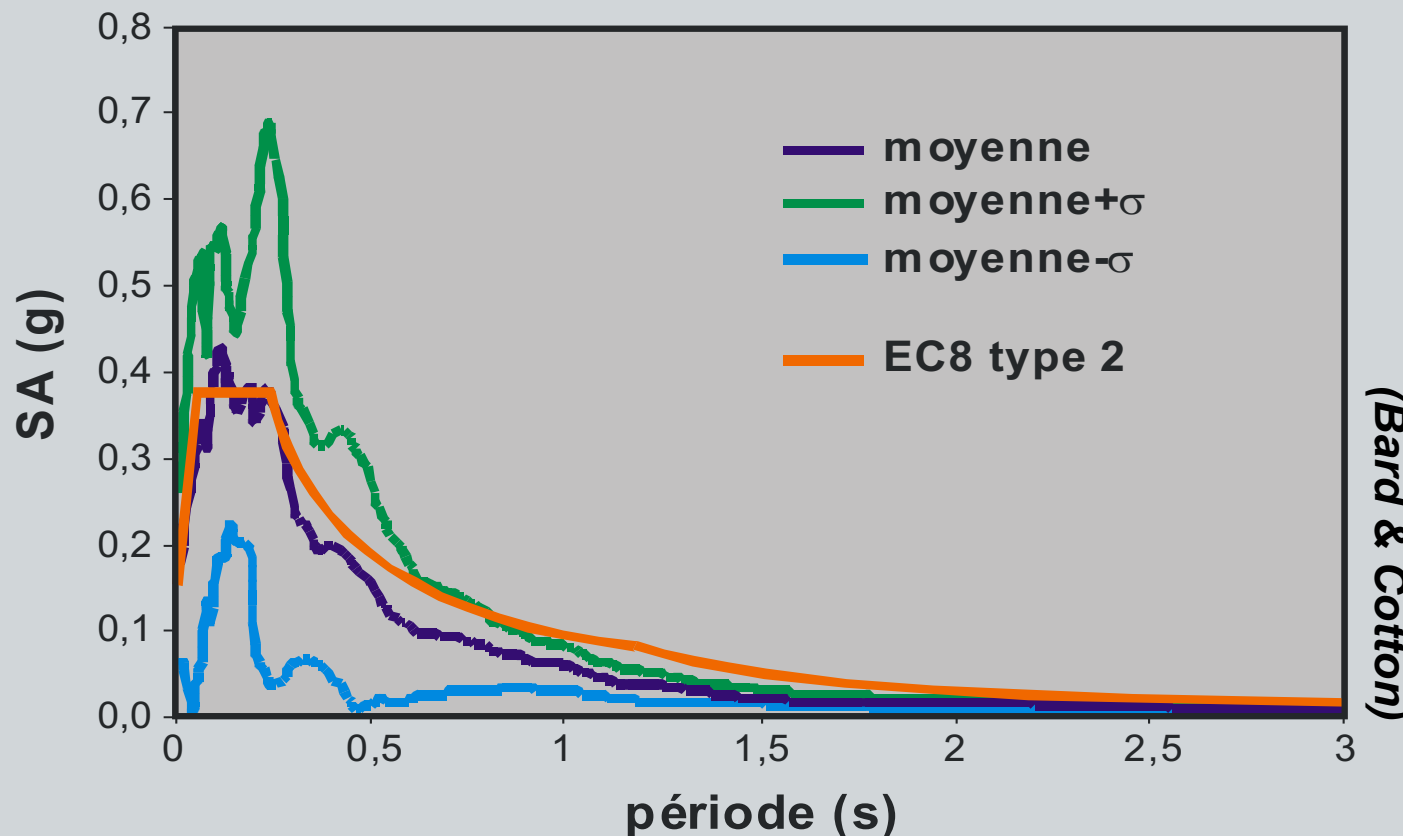
3/ Sollicitation des structures : *forfaitaire* vs probabiliste

IMSIA


ENSTA
ParisTech

Simplification / réglementation

- Raisonnement sur des événements moyens.
Ex.: moyenne de 9 séismes européens ($0,048g < PGA < 0,348g$)

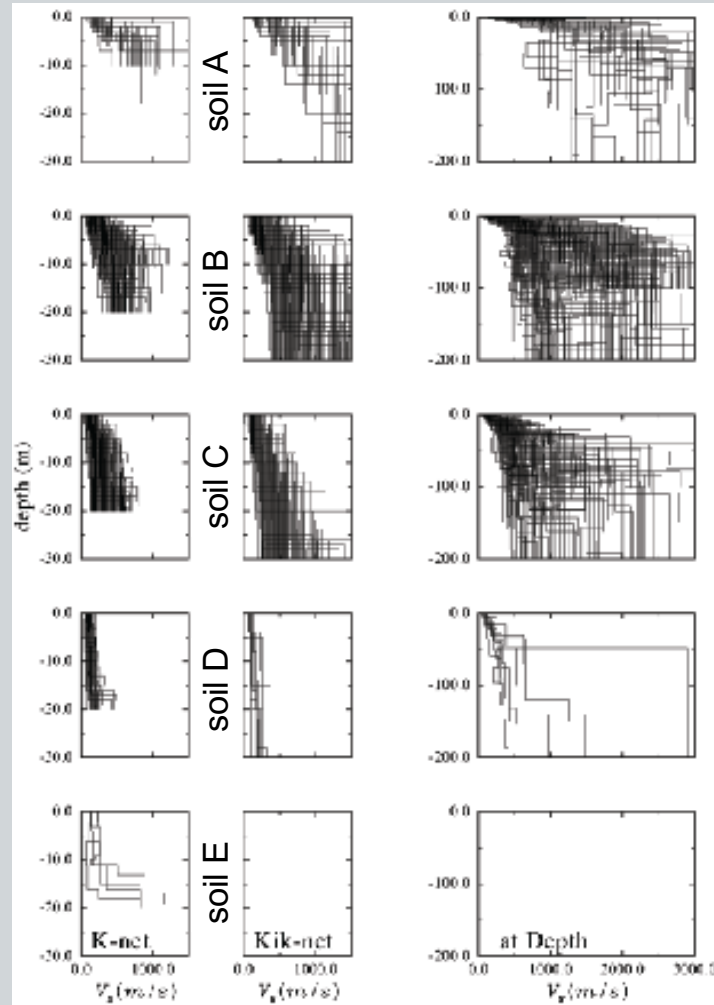


Influence du type de sol

Classe	Description	Paramètres		
		$V_{S,30}$ (m/s)	N (SPT)	C_u (kPa)
A	Rocher – alluvions < 5m	> 800	-	-
B	Sable très dense, gravier ; h>10m	360-800	> 50	> 250
C	Sable dense, moy ^t denses, argile raide ; h=10-100m	180-360	15-50	70-250
D	Sable lâche, moy ^t dense ; argile ferme à molle	< 180	< 15	< 70
E	Alluvions C ou D, h=5-20m sur rocher			
S_1	Couches av.strates h>10m argile molle ($IP>40$), w élevée	< 100	-	10-20
S_2	Sites liquéfiables		$V_{S,30} = \frac{H}{\sum_{i=1}^N \frac{h_i}{V_i}}$	

Variabilité des profils géologiques

- Exemple pour des profils de sols japonais



Approches probabilistes

$$\lambda_{y^*} = \sum_{i=1}^{N_S} \sum_{j=1}^{N_M} \sum_{k=1}^{N_R} v_i \prod P[Y > y^* | m_j, r_k] P[M = m_j] P[R = r_k]$$

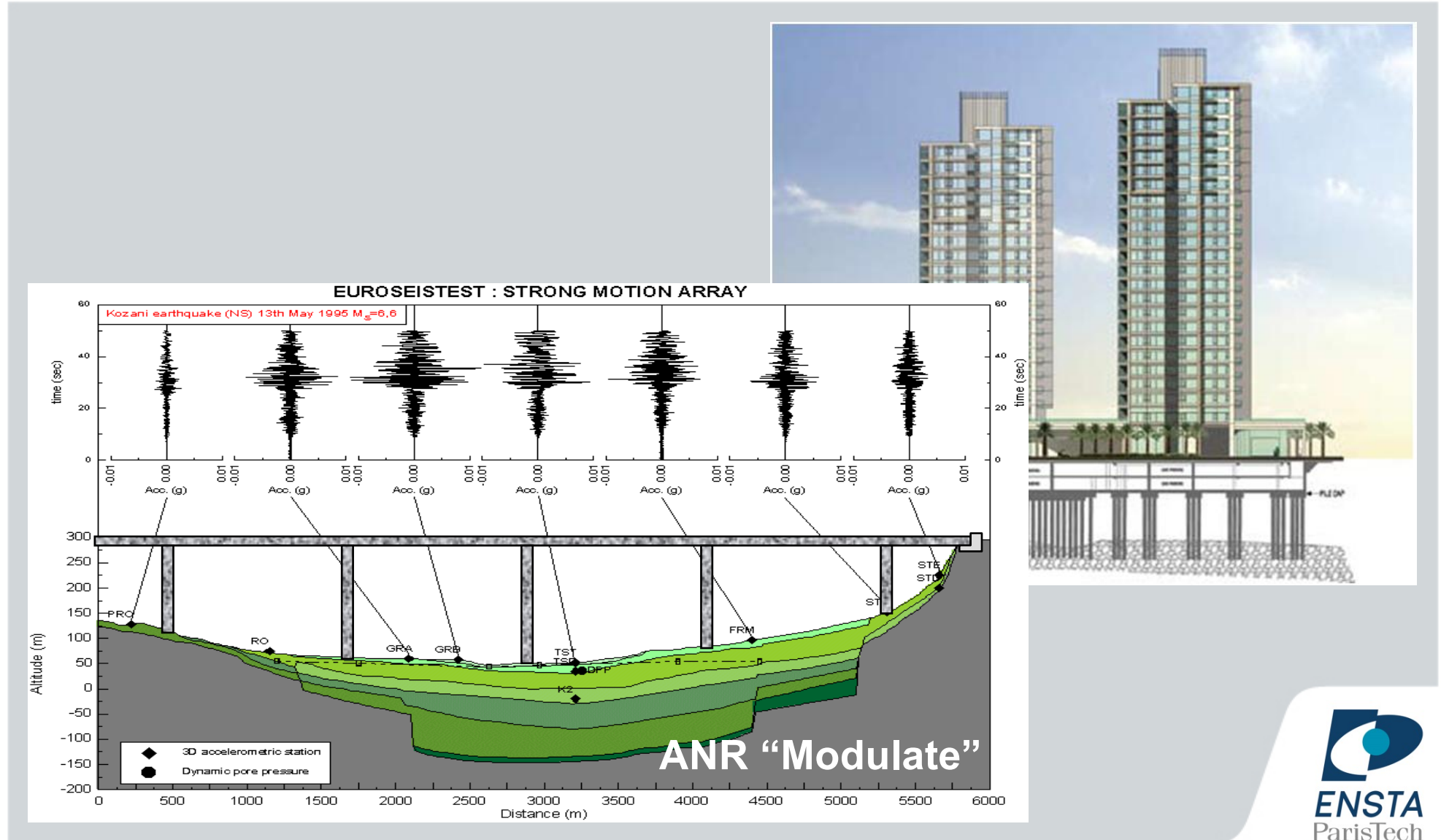
All sites are considered

All possible effects are considered - each weighted by its conditional probability of occurrence

All possible distances are considered - contribution of each is weighted by its probability of occurrence

All possible magnitudes are considered - contribution of each is weighted by its probability of occurrence

Fondations et structures





Perspectives

IMSIA

 **ENSTA**
ParisTech

The ENSTA ParisTech logo is positioned in the bottom right corner. It features a stylized graphic element composed of a blue square with a white circle inside, followed by a blue oval. Below this graphic, the word "ENSTA" is written in a bold, dark blue sans-serif font, with "ParisTech" in a smaller font size directly underneath it.

Effet induit (1) : liquefaction (ANR 'ISOLATE')

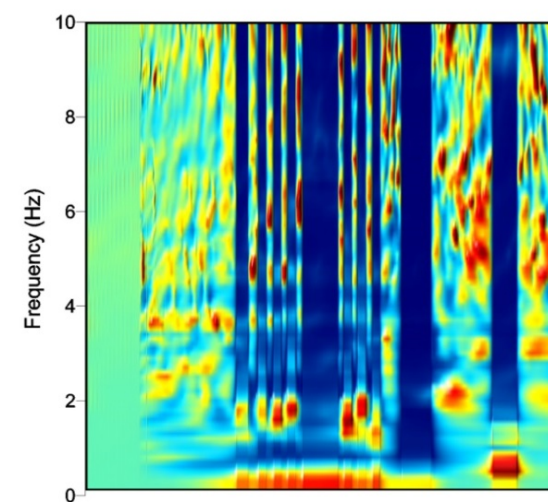
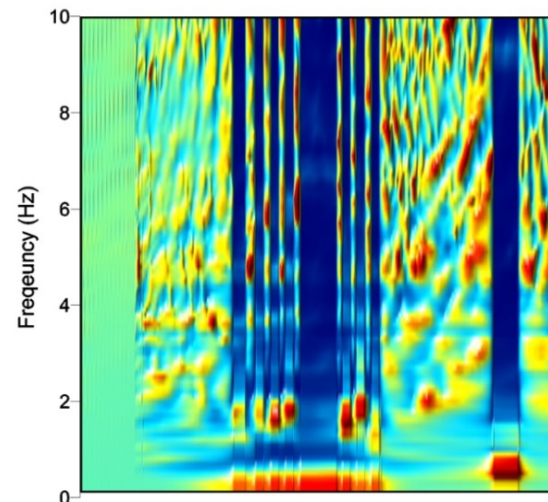
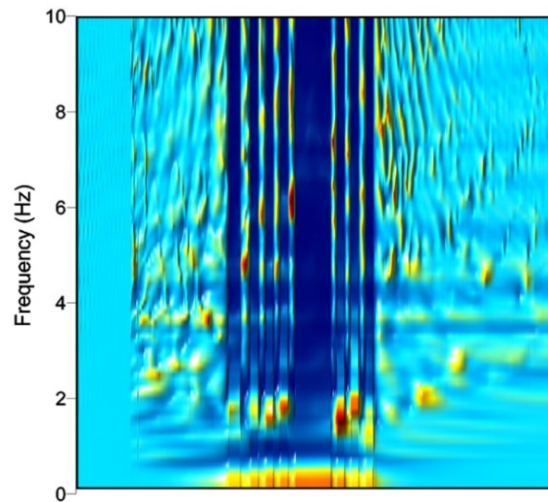
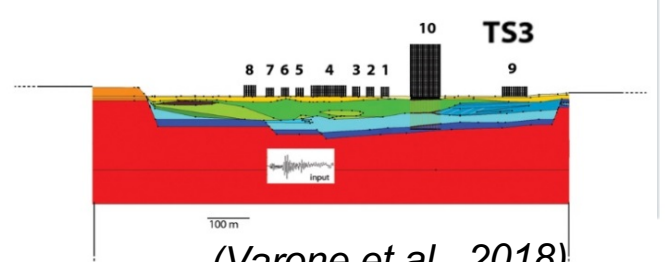
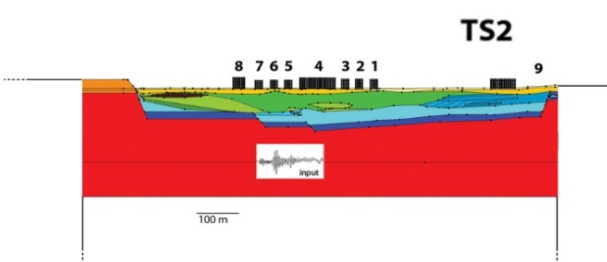
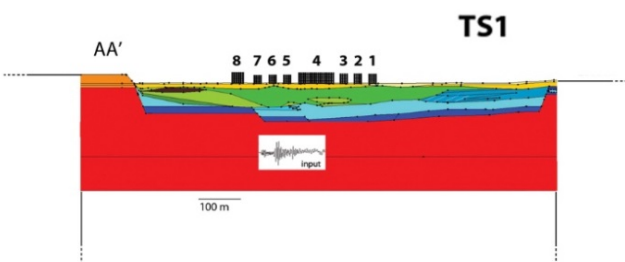


Effet induit (2) : glissement de terrain



Complexité échelle urbaine

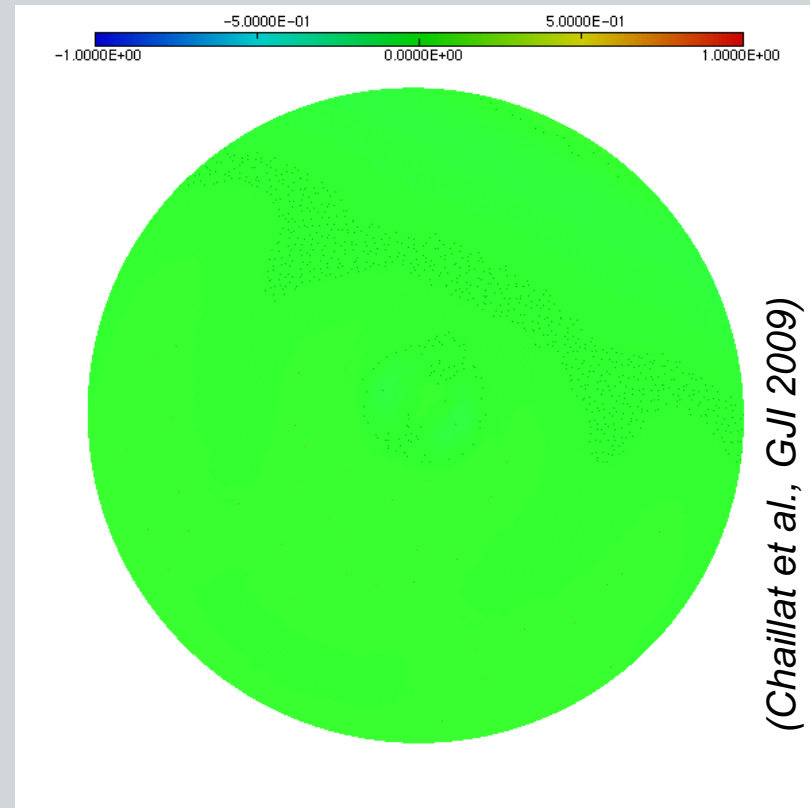
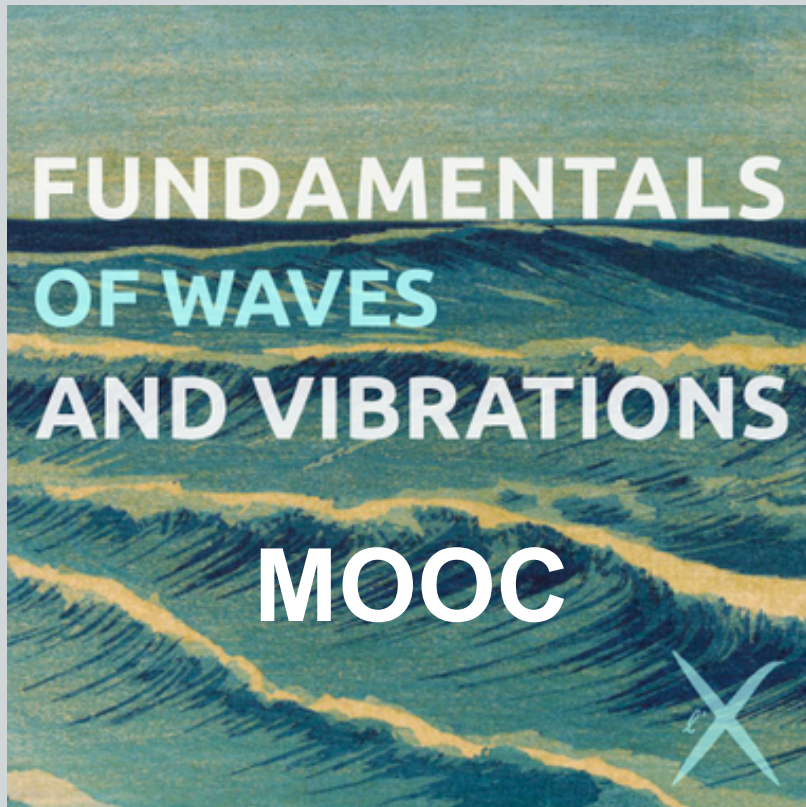
Ville antisismique ?!

 $A_{ag}(f)_x$ 

(Varone et al., 2018)

AL-FA AL-VSC AL-CL AL-PC AL-PT AL-SD AL-GF PT-CL PT-SD AL-LS (CL) AL-LS (GR) PT-GR VC NM

Merci de votre attention



(Chaillat et al., GJI 2009)

Références



WIKIPEDIA
The Free Encyclopedia

Main page
Contents
Featured content

Article Talk

Seismic site effects

From Wikipedia, the free encyclopedia

Seismic site effects are related to the amplification of seismic waves in surficial geological layers.^[1] The surface geology conditions are unfavourable (e.g. sediments). The damages due to an earthquake may thus be aggravated as in

Chaillat S., Bonnet M., Semblat J.F. (2009). A new fast multi-domain BEM to model seismic wave propagation and amplification in 3D geological structures, *Geophys. Journal Int.*, 177(2): 509-531.

Chaillat S., Semblat J.F., Bonnet M. (2012). A preconditioned 3-D multi-region fast multipole solver for seismic wave propagation in complex geometries, *Commun. Comput. Phys.*, 11(2): 594-609.,

Delépine N., Bonnet G., Lenti L., Semblat J.F. (2009). Nonlinear viscoelastic wave propagation: an extension of Nearly Constant Attenuation models, *Journal of Eng. Mechanics (ASCE)*, 135(11): 1305-1314.

Kham M., Semblat J.F., Bard P.Y., Dangla P. (2006). Site-City Interaction: Main Governing Phenomena Through Simplified Numerical Models, *Bull. Seism. Soc. Am.*, 96(5): 1934-1951.

Meza-Fajardo K.C., Semblat J.F., Chaillat S., Lenti L. (2016). Seismic-Wave Amplification in 3D Alluvial Basins: 3D/1D Amplification Ratios from Fast Multipole BEM Simulations *Bull. Seism. Soc. Am.*, 106(3): 1267-1281.

Meza-Fajardo KC, Papageorgiou AS, Semblat JF. (2015). Identification and extraction of surface waves from three-component seismograms based on the Normalized Inner Product, *Bull. Seism. Soc. Am.*, 105(1): 210-229.

Régnier J., L.F. Bonilla, E. Bertrand, J.F. Semblat (2014).

Influence of the Vs profiles beyond 30 m depth on linear site effects: assessment from the KiK-net data, *Bull. Seism. Soc. Am.*, 104(5): 2337-2348.

Regnier J, Cadet H, Bonilla LF, Bertrand E., Semblat JF. (2013). Assessing nonlinear behavior of soils in seismic site response: statistical analysis on KiK-net strong-motion data, *Bull. Seism. Soc. Am.*, 103(3):1750-1770.

Santisi d'Avila M.P., Lenti L., Semblat J.F. (2012). Modeling strong seismic motion: 3D loading path vs wavefield polarization, *Geophys. J. Int.*, 190: 1607-1624.

Semblat J.F., Lenti L., Gandomzadeh A. (2011). A simple and efficient absorbing layer method in elastodynamics, *Int. J. for Numerical Methods in Eng.*, 85(12): 1543-1563.

Semblat J.F., Pecker A. (2009). *Waves and vibrations in soils: Earthquakes, Vibrations, Shocks, Construction works*, IUSS Press, Pavia, Italy, 499 p.

Semblat J.F., Kham M., Bard P.Y. (2008). Seismic wave propagation in alluvial basins and influence of Site-City Interaction, *Bull. Seism. Soc. of America*, 98(4).

Semblat J.F., Kham M., Parara E., Bard P.Y., Pitilakis K., Makra K., Raptakis D. (2005). Site effects: basin geometry vs soil layering, *Soil Dyn. & Earthquake Eng.*, 25(7-10): 529-538.